

## АНОМАЛЬНАЯ $P$ -ВОЛНА В РАССЕЯНИИ $\bar{p}N$ ПРИ НИЗКИХ ЭНЕРГИЯХ И $\bar{p}p$ -АТОМ

О.Д.Далькаров, К.В.Протасов

В квазиядерной модели связанных каналов вычислено поведение отношения реальной части к мнимой для амплитуды  $\bar{p}N$ -рассеяния вперед и ядерные сдвиги  $1S$ - и  $2P$ -уровней  $\bar{p}p$ -атома. Результаты вычислений указывают на аномально большой вклад  $P$ -волны, обусловленный квазиядерными  $NN$ -резонансами.

В экспериментах, ведущихся в ЦЕРНе (на антiproтонном накопителе LEAR) при недоступных ранее импульсах налетающего антiproтона ( $K_{\bar{p}} \leq 300$  МэВ/с в лаб. системе координат) был обнаружен необычно большой вклад  $P$ -волны в  $\bar{p}p$ -взаимодействии при низких энергиях<sup>1</sup>. Это явление было предсказано сравнительно давно в первых работах по теории квазиядерных барион-антибарионных резонансов (см. обзор<sup>2</sup>). Расчеты, выполненные в последнее время в квазиядерной модели связанных каналов (МСК)<sup>3</sup>, количественно воспроизводят данные LEAR, в частности, необычно большой вклад  $P$ -волны. В настоящей статье мы обсудим предсказания МСК для поведения параметра  $\rho$  – отношения реальной части к мнимой для амплитуды  $\bar{p}N$ -рассеяния вперед и ядерных сдвигов  $1S$ - и  $2P$ -уровней  $\bar{p}p$ -атома. Экспериментальные данные, полученные на LEAR<sup>4</sup>, показывают очень быстрое возрастание отношения  $\rho$  с увеличением импульса  $\bar{p}$  с  $K_{\bar{p}} = 0$  до  $\sim 300$  МэВ/с (см. рис. 1). Как было впервые отмечено в<sup>5</sup> быстрый рост  $\rho$  с увеличением импульса в узком диапазоне значений от 0 до 300 МэВ/с может быть объяснен в предположении большого вклада  $P$ -волны в этой области. Результаты вычислений в МСК, показанные на рис. 1, подтверждают это наблюдение. Качественно, эффект быстрого возрастания  $\rho$  состоит в том, что знаки действительных частей  $S$ - и  $P$ -волновых амплитуд  $\bar{p}p$ -рассеяния вперед противоположны, поэтому сравнительно большой вклад и быстрое возрастание  $P$ -волновой амплитуды приводят к компенсации вкладов  $S$ - и  $P$ -амплитуд и занулению величины  $\rho$  в области импульсов  $\sim 300$  МэВ/с. В расчетах  $\rho$  мы не учитывали кулоновские эффекты, которые могут увеличить  $\rho$  по абсолютной величине при  $K_{\bar{p}} = 0$  примерно на 5% (в области  $K_{\bar{p}} \sim 300$  МэВ/с кулоновские поправки малы). Вместе с тем следует заметить, что извлечение параметра  $\rho$  из данных по  $\bar{p}p$ -рассеянию в области кулон-ядерной интерференции необходимо производить по формулам, корректно учитывающим интерференцию кулоновского и ядерного взаимодействий<sup>6</sup>. Это может уменьшить экспериментальные значения  $\rho$  в области  $K_{\bar{p}} \approx \sim 200$  МэВ/с на величину порядка  $\Delta\rho \approx 0,05$ , что приведет к лучшему согласию экспериментальных результатов с теоретической кривой на рис. 1.

Эффект резкого возрастания вклада  $P$ -волны еще более ярко проявляется в поведении величины  $\rho$  для  $\bar{N}N$ -амплитуды в изоспиновом состоянии  $I = 1$ , т. е. для  $\bar{p}n$ (или  $\bar{p}p$ )-рассеяния (рис. 2). В настоящее время извлечение величины  $\rho$  в состоянии с  $I = 1$  возможно только из данных по  $\bar{p}$ -ядерному рассеянию<sup>7, 8</sup>. Полученное в<sup>8</sup> значение  $\rho_{\bar{p}n}$  при импульсе антiproтона  $K_{\bar{p}} \approx 600$  МэВ/с, как это видно из рис. 2, не противоречит нашим вычислениям.

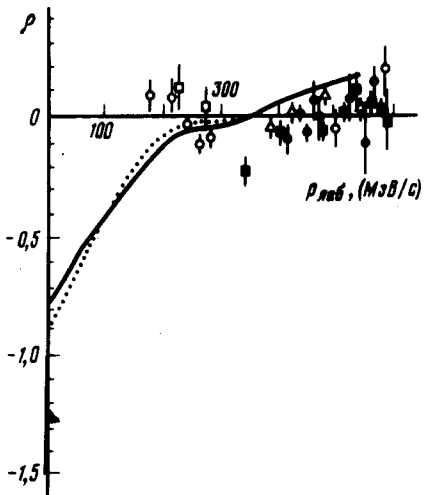


Рис. 1

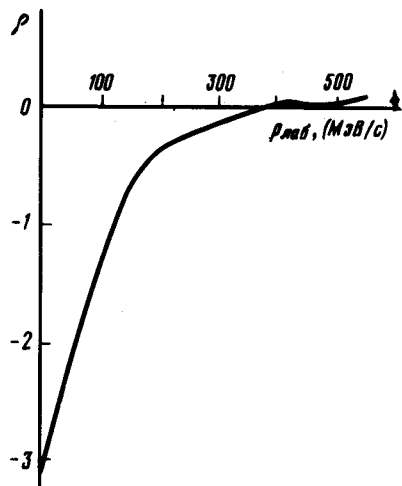


Рис. 2

Рис. 1. Отношение реальной части к мнимой для амплитуды  $\bar{p}p$ -рассеяния вперед. Экспериментальные данные из<sup>4</sup>, сплошная кривая – теоретический расчет в МСК, точечная кривая – с учетом  $\pi$ -порога

Рис. 2. Отношение реальной части к мнимой для амплитуды  $\bar{p}n$ -рассеяния вперед. Экспериментальное значение из<sup>8</sup>

Одновременно с описанием в МСК данных по  $\bar{p}p$ -рассеянию мы вычислили низкоэнергетические параметры  $\bar{p}N$ -рассеяния для  $S$ - и  $P$ -волн. В таблице 1 приведены  $S$ -волновые длины рассеяния  $a$  и величина  $\rho$  для амплитуды  $\bar{p}N$  рассеяния вперед при нулевой энергии. Значение  $\rho_{\bar{p}p} = 1,08^*$  отвечает изменению безразмерного параметра аннигиляции в МСК<sup>3</sup> (с  $\lambda = 3,9$  до  $\lambda = 4,0$ ) в  $^1S_0$ -волне, что не приводит к сколько-нибудь заметному изменению полученных результатов при  $K_{\bar{p}} \gtrsim 300$  МэВ/с. Необходимо отметить, что учет порога  $\bar{p}n$  в  $\bar{p}p$ -рассеянии по процедуре, указанной в<sup>5</sup> (см. также рис. 1), приводит к изменению  $\rho$  примерно на 10%. Кроме того, кулоновские поправки к  $\rho_{\bar{p}p}(0)$  также увеличивают  $\rho_{\bar{p}p}(0)$  по абсолютной величине примерно на 5%. С учетом этих поправок величина  $\rho_{\bar{p}p}(0)$  принимает следующие значения:  $\rho_{\bar{p}p}(0) \approx 0,88$  и  $\rho_{\bar{p}p}^*(0) \approx 1,24$ .

Таблица 1

$2I+1 \quad 2S+1$ $L_J$	$\text{Re } a, \text{ Фм}$	$\text{Im } a, \text{ Фм}$	$\rho$
$^11S_0$	- 1,92 - 2,45*	6,10 4,27*	-
$^31S_0$	- 1,28	0,24	-
$^13S_1$	- 0,34	0,34	-
$^33S_1$	- 0,71	0,29	-
$S$ -волна	$\bar{p}p$	- 0,79 - 0,86* - 0,85	- 0,77 - 1,08* - 3,07
	$\bar{p}n \ (I=1)$		

Экспериментальных данных по измерению  $\rho_{\bar{p}n}$  в настоящее время нет. Однако, оценка  $\text{Im}a_{\bar{p}n} = 0,235 \pm 0,121$ , сделанная на основе данных об аннигиляции остановившихся  $\bar{p}$  в  ${}^4\text{He}$ , согласуется со значением  $\text{Im}a_{\bar{p}n} = 0,28$  приведенным в таблице 1.

Соответствующие сдвиги и ширины  $1S$ -уровня  $\bar{p}p$ -атома, вычисленные с использованием  $S$ -волновых длин рассеяния из таблицы 1 оказались равными:  $\text{Re}(\Delta E_{1S}) = 0,68 (0,74^*)$  КэВ и  $\Gamma_{1S} = 1,79 (1,39^*)$  КэВ. Эти значения не противоречат имеющимся данным о сдвигах и ширинах  $1S$ -уровня  $\bar{p}p$ -атома <sup>10</sup>.

В таблице 2 мы приводим  $P$ -волновые длины  $\bar{p}p$ -рассеяния. Вычисленные сдвиги и ширины  $2P$ -уровня  $\bar{p}p$ -атома равны в этом случае:  $\text{Re}(\Delta E_{2P}) = -18$  мэВ,  $\Gamma_{2P} = 39$  мэВ. Полученное значение  $\Gamma_{2P}$  неплохо согласуется с измеренной на опыте большой величиной ширины  $2P$ -уровня  $\bar{p}p$ -атома:  $\Gamma_{2P}^{\text{эксп}} = 39,8 \pm 10,7$  мэВ <sup>10</sup>.

Таблица 2

$2S+1$ $L_J$	$\text{Re}A_p, (\text{ГэВ/с})^{-3}$	$\text{Im}A_p, (\text{ГэВ/с})^{-3}$
$1P_1$	84	64
$3P_0$	71	105
$3P_1$	-4	96
$3P_2$	53	130
$P$ -волна	48	104

Следует отметить, что сравнение с аналогичными расчетами в оптических моделях <sup>11</sup>, указывает на существенно большее значение длины рассеяния в  $P$ -волне, полученное в наших расчетах (например,  $\text{Re}A_p$  более чем в 3 раза превосходит аналогичную величину в <sup>11</sup>). Увеличение  $P$ -волны в наших вычислениях обусловлено, как уже неоднократно подчеркивалось, существованием спектра вблизипороговых  $P$ -резонансов квазиядерной природы.

Авторы выражают искреннюю благодарность И.С.Шапиро за полезные и стимулирующие обсуждения.

### Литература

1. Brückner W. et al. Phys. Lett., 1986, **166B**, 113.
2. Bogdanova L.N., Dalkarov O.D., Shapiro I.S. Ann. Phys. (N.Y.), 1974, **84**, 261.
3. Shapiro I.S. Invited talk at XI International Conference PANIC-87, April 20 – 24.
4. Paul S. In Proc. of IV LEAR Workshop, Switzerland, 6 September 1987.
5. Далькаров О.Д., Протасов К.В. Письма в ЖЭТФ, 1986, **39**, 638.
6. Kudryavtsev A.E., Markushin V.A. Preprint ITEP-179, 1985.
7. Dalkarov O.D., Karmanov V.A. Nucl. Phys. 1985, **A445**, 579.
8. Bendiscioli G., Rotondi A., Salvini P., Zenoni A. Nucl. Phys., 1987, **A469**, 669.
9. Sapozhnikov M.G. CERN-Report, 1987.
10. Simons L.M. In Proc. of IV LEAR Workshop, Switzerland, 6 - 13 September 1987.
11. Richard J.-M. In Proceedings of a Workshop on Physics at LEAR with Low-Energy Cooled Antiprotons, 1982, p. 83.